

# Modelagem de um Sistema Ativo de Pouso de um Foguete Suborbital

Modelagem de Sistemas Dinâmicos - PME3380

Docente: Agenor de Toledo Fleury

Docente: Renato Maia Matarazzo Orsino

Grupo T

Gabriel Ribeiro Silvério

Calebe Gomes

Gustavo Raul Weber Morelli

Lucas Carvalho

1 de fevereiro de 2024

# Introdução

## O que é o TVC?

- ▶ Sistema de Direcionamento do Voo de um Foguete pela deflexão da tubeira
- ▶ Pode ser utilizado como mecanismo principal para um sistema ativo de pouso
- ▶ Vantagens: permite a precisão da localidade do pouso, reutilização completa do foguete para outras missões e manobras em ambientes com pouca sustentação aerodinâmica.

## Objetivos:

- ▶ Modelagem e simulação da dinâmica de um sistema de pouso baseado no TVC, permitindo futuro controle desse sistema.

# Revisão Bibliográfica

Principal referência utilizada: trabalho de mestrado de Brobow (2015)

- ▶ Modelagem de um corpo de testes que utiliza o empuxo vetorizado como sistema de orientação
- ▶ Modelagem cinemática e dinâmica do foguete
- ▶ Apresentação do modelo físico e técnicas de simulação e controle

Referências Auxiliares

- ▶ Modelo Dinâmico de Voo de KISABO, 2015
- ▶ Modelo de Simulação de CEOTTO, 2020

# Hipóteses Simplificadoras

1. Considerando baixa variação de altitude, a gravidade pode ser admitida constante no tempo e espaço. (CEOTTO, 2021)
2. Efeitos causados por variação de massa serão desprezados (Foguetes suborbitais consomem pouco combustível e o pouso é de baixa duração), como foi bem desenvolvido e explicado em (CEOTTO, 2021).
3. A estrutura do foguete se comporta como um corpo rígido.
4. Existe axissimetria na estrutura do foguete, coincidindo com os eixos principais de inércia - assim é desprezado o momento de inércia no eixo de simetria.
5. Efeitos de sustentação são desprezados devido às baixas velocidades, como é desenvolvido em (KISABO, 2019).
6. O foguete estará descendo na posição vertical, e os efeitos de rotação própria serão desprezados (BOBROW, 2022).



# Características do foguete

- ▶ Composto de um corpo rígido em forma cilíndrica ideal.
- ▶ A tubeira, que se move, é parte integrante da estrutura rígida do foguete, e segundo as referências, não necessita de modelo próprio.
- ▶ Empuxo é constante durante todo o período de pouso.
- ▶ Dados da geometria, massa e momentos de inércia são retirados do foguete Juno 3 do grupo de extensão Projeto Júpiter

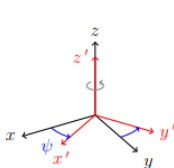
# Parâmetros

Símbolo	Parâmetro	Valor
$X_{CM}$	Distância do centro de massa até o bocal	1,052 m
$X_{PE}$	Centro de Pressão	-0,261 m
L	Comprimento do foguete	3,304 m
$D_f$	Diâmetro do Foguete	0.127 m
$T$	Empuxo	230,57 N
$I_{yy}$	Momento de inércia do eixo y	$15,07 \text{ kg} \cdot \text{m}^2$
$I_{zz}$	Momento de inércia do eixo z	$15,07 \text{ kg} \cdot \text{m}^2$
M	Massa do foguete	$23,545 \text{ kg}$
g	Aceleração da gravidade	$9,8055 \text{ ms}^{-2}$
$\rho$	Massa específica do ar	$1,091 \text{ kgm}^{-3}$
$C_d$	Coeficiente de Arrasto Aerodinâmico	0,432

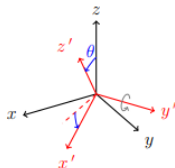
Tabela 1: Parâmetros do Sistema

# Graus de Liberdade

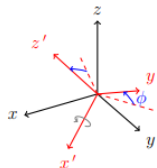
- ▶ 5 graus de liberdade mecânicos
- ▶ Deslocamento  $(x, y, z)$
- ▶ Rotação em  $(y, z)$  -  $(\theta, \psi)$



(a) First rotation



(b) Second rotation



(c) Third rotation

Ângulos de Euler - Rotação  $(zyz)$

Fonte: Brobow (2015)



# Vetor de Estados

$$x = [x \quad y \quad z \quad \theta \quad \psi \quad u \quad v \quad w \quad q \quad r]^T \quad (1)$$

# Modelagem Cinemática

O primeiro passo para a definição das velocidades e rotações do corpo é a transição entre os referenciais fixo e móvel, dadas pelas matrizes de rotação:

$$R_{x\phi} = \begin{bmatrix} 1 & 0 & 0 \\ 0 & c_\phi & s_\phi \\ 0 & -s_\phi & c_\phi \end{bmatrix} \quad R_{y\Theta} = \begin{bmatrix} c_\Theta & 0 & -s_\Theta \\ 0 & 1 & 0 \\ s_\Theta & 0 & c_\Theta \end{bmatrix} \quad R_{z\Psi} = \begin{bmatrix} c_\Psi & s_\Psi & 0 \\ -s_\Psi & c_\Psi & 0 \\ 0 & 0 & 1 \end{bmatrix}$$

# Modelagem Cinemática

Com isso definido, é possível definir a transformação homogênea que permite transmitir grandezas translacionais da base fixa para a móvel, denotada por  $R$ , e sua inversa,  $T_{IB}$ , que indica o processo contrário

$$R = R_{x\varphi} \cdot R_{y\theta} \cdot R_{z\psi}$$

$$R = \begin{bmatrix} c_{\theta}c_{\psi} & c_{\theta}s_{\psi} & -s_{\theta} \\ s_{\theta}s_{\varphi}s_{\psi} - c_{\varphi}s_{\psi} & c_{\varphi}c_{\psi} + s_{\theta}s_{\varphi}s_{\psi} & c_{\theta}s_{\varphi} \\ c_{\varphi}c_{\psi}s_{\theta} + s_{\varphi}s_{\psi} & -c_{\psi}s_{\varphi} + c_{\varphi}s_{\theta}s_{\psi} & c_{\theta}c_{\varphi} \end{bmatrix}$$

$$T_{IB} = \begin{bmatrix} c_{\theta}c_{\psi} & c_{\psi}s_{\theta}s_{\varphi} - c_{\varphi}s_{\psi} & c_{\varphi}c_{\psi}s_{\theta} + s_{\varphi}s_{\psi} \\ c_{\theta}s_{\psi} & c_{\varphi}c_{\psi} + s_{\theta}s_{\varphi}s_{\psi} & -c_{\psi}s_{\varphi} + c_{\varphi}s_{\theta}s_{\psi} \\ -s_{\theta} & c_{\theta}s_{\varphi} & c_{\theta}c_{\varphi} \end{bmatrix}$$

# Modelagem Cinemática

Com isso, as velocidades medidas no referencial móvel, obtidas por sensores, podem ser expressas no referencial fixo:

$$v_{fixo} = T_{IB} \cdot v_{movel}$$

$$\begin{bmatrix} u \\ v \\ w \end{bmatrix} = \begin{bmatrix} c_{\Theta}c_{\Psi}v_x + (c_{\Psi}s_{\Theta}s_{\Phi} - c_{\Phi}s_{\Psi})v_y + (c_{\Phi}c_{\Psi}s_{\Theta} + s_{\Phi}s_{\Psi})v_z \\ c_{\Theta}s_{\Psi}v_x + (c_{\Phi}c_{\Psi} + s_{\Theta}s_{\Phi}s_{\Psi})v_y + (-c_{\Psi}s_{\Phi} + c_{\Phi}s_{\Theta}s_{\Psi})v_z \\ -s_{\Theta}v_x + (c_{\Theta}s_{\Phi})v_y + (c_{\Theta}c_{\Phi})v_z \end{bmatrix}$$

# Modelagem Cinemática

Para as rotações, a abordagem é diferente, e se refere à aplicação de uma nova matriz de transformação denominada por  $B$ , cuja demonstração está desenvolvida em (ARDAKANI; BRIDGES, 2010):

$$B = \begin{bmatrix} 1 & \sin \varphi \tan \theta & \cos \varphi \tan \theta \\ 0 & \cos \varphi & -\sin \varphi \\ 0 & \sin \varphi \sec \theta & \cos \varphi \sec \theta \end{bmatrix}$$

Assim, a transformação implica no seguinte:

$$\vec{\omega}_{fixo} = B^{-1} \vec{\omega}_{móvel}$$

# Modelagem Dinâmica

Em primeiro lugar, modelagem-se as forças aerodinâmicas presentes na situação, que, pelas hipóteses simplificadoras, se resumem apenas à força de arrasto, dado por:

$$D = \frac{1}{2} C_d \rho A v_{rel}^2$$

A área, contudo, é variante, e pode ser dada pela sobreposição de duas projeções:

$$A(\theta, \phi) = \frac{\pi D_f^2}{4} + D_f L \sqrt{\sin^2 \theta + \cos^2 \phi}$$

Ficando então:

$$D = \frac{1}{2} C_d \rho \left( \frac{\pi D_f^2}{4} + D_f L \sqrt{\sin^2 \theta + \cos^2 \phi} \right) v_{rel}^2$$

# Modelagem Dinâmica

Define-se o vetor de saída do empuxo, com  $\alpha_y$  e  $\alpha_z$  sendo as deflexões da tubeira:

$$\vec{T} = \begin{bmatrix} T_x \\ T_y \\ T_z \end{bmatrix} = \begin{bmatrix} T \cos \alpha_y \cos \alpha_z \\ T \sin \alpha_y \cos \alpha_z \\ T \cos \alpha_y \sin \alpha_z \end{bmatrix}$$

Segundo a formulação de *Newton-Euler*:

$$\dot{\vec{v}} = -\vec{\omega} \times \vec{v} + \frac{1}{m} \sum \vec{F}_{tot}$$

assim, dadas as forças presentes, ele resulta em:

$$\dot{\vec{v}} = -\vec{\omega} \times \vec{v} - R\vec{g} + \frac{1}{m}(\vec{T} + R\vec{D})$$

# Modelagem Dinâmica

$$\begin{aligned}
 a_x = & w_z \cdot v_y - w_y \cdot v_z + \frac{1}{m} \left[ -m \cdot g \cdot \cos \theta \cdot \cos \psi + T \cdot \cos \alpha_y \cdot \cos \alpha_z \right. \\
 & \left. + \frac{1}{2} \cdot \rho \cdot C_D \cdot \cos \theta \cdot \cos \psi \cdot \left( \pi \cdot \left( \frac{D_f^2}{4} \right) + L \cdot D_f \cdot [(\sin \theta)^2 + (\sin \psi)^2]^{0.5} \right) \times \right. \\
 & \left. [\cos \theta \cdot \cos \psi \cdot v_x + (\cos \psi \cdot \sin \theta \cdot \sin \phi - \cos \phi \cdot \sin \psi) \cdot v_y \right. \\
 & \left. + (\cos \phi \cdot \cos \psi \cdot \sin \theta + \sin \phi \cdot \sin \psi) \cdot v_z]^2 \right]
 \end{aligned}$$



# Modelagem Dinâmica

$$\begin{aligned}
 a_y = & -w_z \cdot v_x + w_x \cdot v_z + \frac{1}{m} [-m \cdot g \cdot (\cos(\psi) \cdot \sin(\theta) \cdot \sin(\phi) - \cos(\phi) \cdot \sin(\psi)) \\
 & + T \cdot \cos(\alpha_z) \cdot \sin(\alpha_y) + \frac{1}{2} \cdot \rho \cdot C_D \cdot (\cos(\psi) \cdot \sin(\theta) \cdot \sin(\phi) - \cos(\phi) \cdot \sin(\psi)) \cdot \\
 & \left( \pi \cdot \left( \frac{D_f^2}{4} \right) + L \cdot D_f \cdot [(\sin(\theta))^2 + (\sin(\psi))^2]^{0.5} \right) \cdot \\
 & [\cos(\theta) \cdot \cos(\psi) \cdot v_x + (\cos(\psi) \cdot \sin(\theta) \cdot \sin(\phi) - \cos(\phi) \cdot \sin(\psi)) \cdot v_y + \\
 & (\cos(\phi) \cdot \cos(\psi) \cdot \sin(\theta) + \sin(\phi) \cdot \sin(\psi)) \cdot v_z]^2]
 \end{aligned}$$

# Modelagem Dinâmica

$$\begin{aligned}
 a_z = & w_y \cdot v_x - w_x \cdot v_y + \frac{1}{m} [-m \cdot g \cdot (\cos(\phi) \cdot \cos(\psi) \cdot \sin(\theta) + \sin(\phi) \cdot \sin(\psi)) \\
 & + T \cdot \cos(\alpha_y) \cdot \sin(\alpha_z) + \frac{1}{2} \cdot \rho \cdot C_D \cdot (\cos(\phi) \cdot \cos(\psi) \cdot \sin(\theta) + \sin(\phi) \cdot \sin(\psi)) \cdot \\
 & \left( \pi \cdot \left( \frac{D_f^2}{4} \right) + L \cdot D_f \cdot [(\sin(\theta))^2 + (\sin(\psi))^2]^{0.5} \right) \cdot \\
 & [\cos(\theta) \cdot \cos(\psi) \cdot v_x + (\cos(\psi) \cdot \sin(\theta) \cdot \sin(\phi) - \cos(\phi) \cdot \sin(\psi)) \cdot v_y + \\
 & (\cos(\phi) \cdot \cos(\psi) \cdot \sin(\theta) + \sin(\phi) \cdot \sin(\psi)) \cdot v_z]^2]
 \end{aligned}$$

# Modelagem Dinâmica

Agora, é possível desenvolver a dinâmica rotacional do foguete, descrita também pela formulação de *Newton-Euler*:

$$\dot{\vec{\omega}} = -I^{-1}\vec{\omega} \times I\vec{\omega} + I^{-1} \sum \vec{\tau}$$

Como o momento de inércia em relação ao eixo  $x$  é desprezado, a aplicação comum indicada por (BROBOW, 2015) é justamente abrir o teorema em suas partes e cancelar os termos de não interesse, sendo, portanto, aplicados neste projeto.

Os resultados das rotações se encontram nos slides seguintes.

# Modelagem Dinâmica

$$\begin{aligned} \dot{q} = & -\frac{1}{8 \cdot I_{yy}} \left[ 8 \cdot w_x \cdot w_z \cdot I_{zz} + 8 \cdot T \cdot \cos(\alpha_y) \cdot \sin(\alpha_z) \cdot x_{cm} \right. \\ & \left. - \rho \cdot C_D \cdot \left( 2 \cdot \sqrt{2} \cdot L \cdot D_f \cdot \sqrt{2 - \cos(2\theta) - \cos(2\psi)} + \pi \cdot D_f^2 \right) \cdot \right. \\ & (\cos(\phi) \cdot \cos(\psi) \cdot \sin(\theta) + \sin(\phi) \cdot \sin(\psi)) \cdot [\cos(\theta) \cdot \cos(\psi) \cdot v_x \\ & + (\cos(\psi) \cdot \sin(\theta) \cdot \sin(\phi) - \cos(\phi) \cdot \sin(\psi)) \cdot v_y + \\ & \left. (\cos(\phi) \cdot \cos(\psi) \cdot \sin(\theta) + \sin(\phi) \cdot \sin(\psi)) \cdot v_z \right]^2 \cdot x_{cP} \Big] \end{aligned}$$

# Modelagem Dinâmica

$$\begin{aligned}
 \dot{r} = & -\frac{1}{8 \cdot I_{zz}} \left[ -8 \cdot w_y \cdot w_x \cdot I_{yy} - 8 \cdot T \cdot \cos(\alpha_z) \cdot \sin(\alpha_y) \cdot x_{cm} \right. \\
 & + \rho \cdot C_D \cdot \left( 2 \cdot \sqrt{2} \cdot L \cdot D_f \cdot \sqrt{2 - \cos(2\theta) - \cos(2\psi)} + \pi \cdot D_f^2 \right) \cdot \\
 & (\cos(\psi) \cdot \sin(\theta) \cdot \sin(\phi) - \cos(\phi) \cdot \sin(\psi)) \cdot [\cos(\theta) \cdot \cos(\psi) \cdot v_x \\
 & + (\cos(\psi) \cdot \sin(\theta) \cdot \sin(\phi) - \cos(\phi) \cdot \sin(\psi)) \cdot v_y + \\
 & \left. (\cos(\phi) \cdot \cos(\psi) \cdot \sin(\theta) + \sin(\phi) \cdot \sin(\psi)) \cdot v_z \right]^2 \cdot x_{cp} \Big]
 \end{aligned} \tag{2}$$

# Modelo Matemático Linear

Ponto de linearização:

- ▶ Situação em que o foguete se apresenta em equilíbrio dinâmico durante pouso.
- ▶ Velocidade vertical de descida de  $10m/s$  para empuxo constante e vertical(sem deflexão da tubeira).
- ▶ Eixo de coordenada  $x$  do foguete alinhado com o eixo de coordenada fixo.

Nesse sentido, o ponto de operação é dado por:

$$x_{op}^T = [0 \quad 0 \quad 0 \quad 0 \quad 0 \quad -10 \quad 0 \quad 0 \quad 0 \quad 0] \quad (3)$$

# Modelo Matemático Linear

Expansão em Série de Taylor até a primeira ordem

$$f(x) \approx f(\bar{x}) + \frac{\partial f(\bar{x})}{\partial x} \delta x$$

Forma de Espaço de Estados linearizada

$$\begin{cases} \frac{d\mathbf{x}}{dt} = \mathbf{A}\mathbf{x} + \mathbf{B}\mathbf{u} \\ \mathbf{y} = \mathbf{C}\mathbf{x} + \mathbf{D}\mathbf{u} \end{cases}$$

$$\mathbf{A} = \left. \frac{\partial \mathbf{f}}{\partial \mathbf{x}_n} \right|_{\substack{\mathbf{x}_n = \bar{\mathbf{x}} \\ \mathbf{u}_n = \bar{\mathbf{u}}}} \quad \mathbf{B} = \left. \frac{\partial \mathbf{f}}{\partial \mathbf{u}_n} \right|_{\substack{\mathbf{x}_n = \bar{\mathbf{x}} \\ \mathbf{u}_n = \bar{\mathbf{u}}}} \quad \mathbf{C} = \left. \frac{\partial \mathbf{h}}{\partial \mathbf{x}_n} \right|_{\substack{\mathbf{x}_n = \bar{\mathbf{x}} \\ \mathbf{u}_n = \bar{\mathbf{u}}}} \quad \mathbf{D} = \left. \frac{\partial \mathbf{h}}{\partial \mathbf{u}_n} \right|_{\substack{\mathbf{x}_n = \bar{\mathbf{x}} \\ \mathbf{u}_n = \bar{\mathbf{u}}}}$$

# Modelo Matemático Linear

Substituindo os valores numéricos dos parâmetros e calculando as derivadas parciais

$$A = \begin{bmatrix} 0 & 0 & 0 & 0 & 0 & 1 & 0 & 0 & 0 & 0 \\ 0 & 0 & 0 & 0 & 0 & 0 & 1 & 0 & 0 & 0 \\ 0 & 0 & 0 & 0 & 0 & 0 & 0 & 1 & 0 & 0 \\ 0 & 0 & 0 & 0 & 0 & 0 & 0 & 0 & 1 & 0 \\ 0 & 0 & 0 & 0 & 0 & 0 & 0 & 0 & 0 & 1 \\ 0 & 0 & 0 & 0 & 0 & -2.5345 \cdot 10^{-3} & 0 & 0 & 0 & 0 \\ 0 & 0 & 0 & 0 & 9.9873 & 0 & 0 & 0 & 0 & -10 \\ 0 & 0 & 0 & -9.9873 & 0 & 0 & 0 & 0 & 10 & 0 \\ 0 & 0 & 0 & 5.1702 \cdot 10^{-3} & 0 & 0 & 0 & 0 & 0 & 0 \\ 0 & 0 & 0 & 0 & 5.1702 \cdot 10^{-3} & 0 & 0 & 0 & 0 & 0 \end{bmatrix}$$

$$B = \begin{bmatrix} 0 & 0 \\ 0 & 0 \\ 0 & 0 \\ 0 & 0 \\ 0 & 0 \\ 0 & 0 \\ 0 & 0 \\ 9.7927 & 0 \\ 0 & 9.7927 \\ 0 & 16.0955 \\ -16.0955 & 0 \end{bmatrix}$$

$$C = \begin{bmatrix} 0 & 0 & 0 & 0 & 0 & 0 & 0 & 0 & 1 & 0 \\ 0 & 0 & 0 & 0 & 0 & 0 & 0 & 0 & 0 & 1 \end{bmatrix} \quad D = \begin{bmatrix} 0 & 0 \\ 0 & 0 \end{bmatrix}$$



# Análise de estabilidade

Polinômio característico

$$\det(s\mathbf{I} - \mathbf{A}) = 0$$

$$P(s) = 1.0s^{10} + 0.0025s^9 - 0.0102s^8 - 2.55 \times 10^{-5}s^7 + 2.601 \times 10^{-5}s^6 + 6.5025 \times 10^{-8}s^5$$

Polos do sistema

Polos dos sistema			
Parte real	Parte imaginária	Multiplicidade	Estabilidade
0	0	5	Marginalmente Estável
0.0714	0	2	Instável
-0.0714	0	2	Estável
-0.0025	0	1	Estável

Tabela 2: Polos do sistema

Fonte: Autoria Própria

# Análise de estabilidade

## Polos do sistema

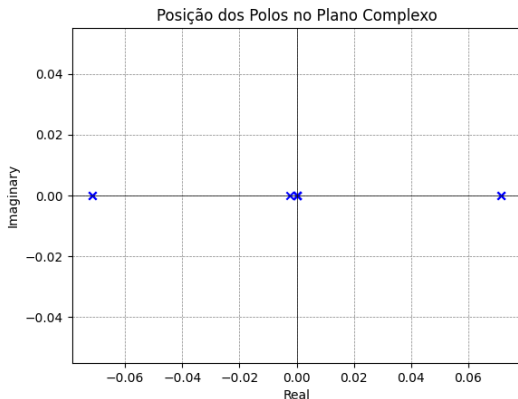


Figura 3: Polos do sistema no Plano de Argand-Gauss

Fonte: Autoria Própria

# Análise pelo Critério de Routh-Hurwitz

Tabela de Routh-Hurwitz:

$$\begin{bmatrix} 1 & -0.012 & 2,6 \cdot 10^{-5} & 0 & 0 & 0 \\ 0.0025 & -2.5 \cdot 10^{-5} & 6,5 \cdot 10^{-8} & 0 & 0 & 0 \\ 0 & 0 & 0 & 0 & 0 & 0 \\ \vdots & \vdots & \vdots & \vdots & \vdots & \vdots \end{bmatrix} \quad (4)$$

- ▶ Percebe-se a existência de colunas nulas indicando instabilidade no modelo desenvolvido
- ▶ Método foi aplicado simbolicamente

# Função de Transferência

$$FT = G(s) = \mathbf{C}\Phi(s)\mathbf{B} + \mathbf{D} \quad \text{e} \quad \Phi(s) = (s\mathbf{I} - \mathbf{A})^{-1}$$

Calculando a função de transferência e a sua apresentação da seguinte forma:

$$G(s) = [G(s)_q \quad G(s)_r]$$

A partir desse pontos, os resultados foram obtidos com o auxílio do *Python*, especificamente das bibliotecas *sympy*, *tbcontrol* e *control*.

# Função de Transferência

$$G_q = \frac{-1.5e + 01s^8 - 3.75e - 02s^7 + 7.65e - 02s^6 + 1.91e - 04s^5}{1s^{10} + 2.5e - 03s^9 - 1.02e - 02s^8 - 2.55e - 05s^7 + 2.60e - 05s^6 + 6.50e - 08s^5}$$

$$G_r = \frac{-3.75e - 02s^8 - 7.65e - 02s^7 + 1.91e - 03s^6 - 3.21e - 03s^5}{1s^{10} + 2.5e - 03s^9 - 1.02e - 02s^8 - 2.55e - 05s^7 + 2.60e - 05s^6 + 6.50e - 08s^5}$$

# Diagrama de Bode

Analisando a faixa de alcance em relação às frequências naturais de oscilação das saídas, é possível desenvolver os diagramas de bode com as seguintes considerações:

- ▶ Atraso de tempo desejado: 0.25s
- ▶ Ordem da expansão de Padé: 3
- ▶ Dado isso, a faixa de frequência física definida é dada pela faixa de  $(10^{-5}, 10^5)$

# Diagrama de Bode

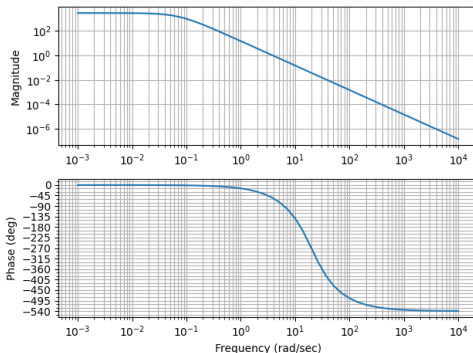


Figura 4: Ganho da Saída q

Fonte: Autores

# Diagrama de Bode

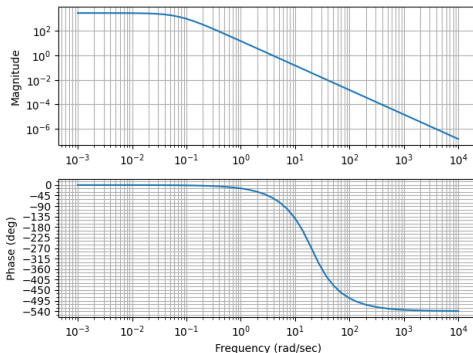


Figura 5: Ganho da Saída r

Fonte: Autores



# Diagrama de Bode

Os pontos característicos são:

- ▶ Frequência de Corte (*Crossover*):  $100Hz$
- ▶ Frequência de Ressonância:  $0.0001rad/sec$
- ▶ Frequência de Rejeição:  $200Hz$

# Simulações do Modelo Não Linear

Com relação ao desenvolvimento das simulações não lineares:

- ▶ Formulação de Ceotto, 2020
- ▶ Método de Inegração: RK23 - Runge-Kutta de terceira ordem
- ▶ Tempo de Integração: 30 segundos
- ▶ Condições Iniciais Forçantes e não Forçantes
- ▶ Entradas sempre formas de ondas senoidais:  $\sin(10t - 10\frac{\pi}{4})$
- ▶ Impressão das rotações no tempo
- ▶ Impressão das trajetórias descritas



# Simulações do Modelo Não Linear - Condições Não Forçantes

A trajetória é dada por:

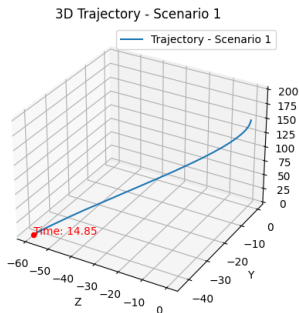


Figura 7: Trajetória no Primeiro Cenário

Fonte: Autoria Própria

# Simulações do Modelo Não Linear - Condições Forçantes

Condições Iniciais:  $[150, 0, 0, 0.02, 0.02, -10, 0, 0, 0, 0, 0, 0]$

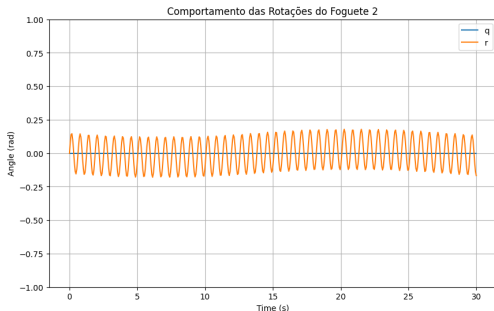


Figura 8: Resposta no Segundo Cenário

Fonte: Autoria Própria

# Simulações do Modelo Não Linear - Condições Forçantes

A trajetória é dada por:

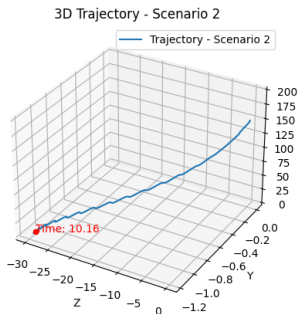


Figura 9: Trajetória no Segundo Cenário

Fonte: Autoria Própria

# Simulações do Modelo Linear - Sinal Degrau

O primeiro sinal de entrada testado é um degrau unitário, indicando mudanças bruscas nas entradas.

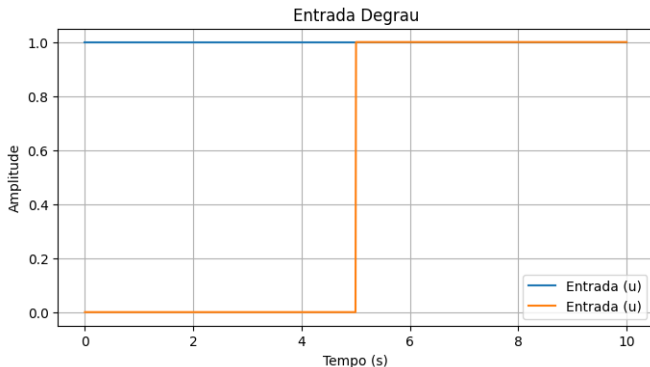


Figura 10: Sinal de Entrada - Degrau Unitário

Fonte: Autoria Própria

# Simulações do Modelo Linear - Sinal Degrau

A resposta das saídas  $q$  é dada como:

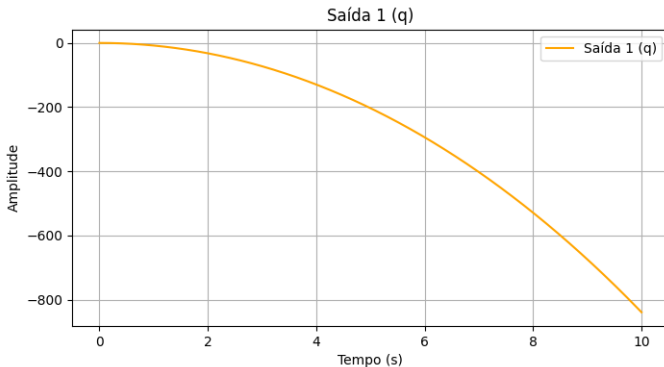


Figura 11: Resposta em Decaimento de  $q$

Fonte: Autoria Própria











# Conclusão

Ambos os modelos respondem bem às entradas e sinais de excitação. Especificamente, existe aproximação entre os modelos, dadas as condições necessárias, e também as repostas esperadas, tendo em vista os polos obtidos no sistema.

Brobow (2015) Kisabo (2019) Souris (2004)

# Referências

- [1] CEOTTO, Giovanni H. et al. RocketPy: Six Degree-of-Freedom Rocket Trajectory Simulator. Journal of Aerospace Engineering, v. 34, n. 6, p. 04021093, 2021.
  
- [2] KISABO, Aliyu Bhar et al. State-Space Modeling of a Rocket for Optimal Control System Design. In: Ballistics. IntechOpen, 2019.
  
- [3] BOBROW, Fábio. Controle de um pêndulo invertido com 6 graus de liberdade e rodas de reação. Dissertação (Mestrado em Engenharia Elétrica com Ênfase em automação e controle) – Escola Politécnica da Universidade de São Paulo, São Paulo, 2015.
  
- [4] SIOURIS, George M et al. Missile guidance and control systems, New York, 666p., NY, 2004.